

비전을 이용한 B/STUD 검사 시스템에 관한 연구

A Study of the B/STUD Inspection System Using the Vision System

장 영훈(한양대 대학원), 한 창수(한양대 공대)

Younghun Jang(Graduate Hanyang Univ), Changsoo Han(Hanyang Univ)

Abstract

In this paper, an automatic B/STUD inspection system has been developed using the computer aided vision system. Index Table has been used to get the rapid measurement and multi-camera has been used to get the high resolution in mechanical system. Camera calibration was suggested to perform the reliable Inspection. Image processing and data analysis algorithms for B/STUD inspection system has been investigated and were performed quickly with high accuracy. As a result, Inspection system of a B/STUD can be measured with a high resolution in real time.

Key Words : B/STUD(측정물체), Camera calibration(카메라 보정), Least Square Method(최소자승법), Polygonal Approximation(다각 근사법)

1. 서론

현재 제조공장에서는 작업 능률을 높이기 위하여 많은 부분에서 공장 자동화에 관심을 보이고 있다. 특히 검사 조정 과정에서는 비접촉식 검사 조정 시스템의 자동화를 통하여 생산성 향상, 경비 절감, 생산라인의 무인화 및 모니터링을 실현함으로써 안전사고 예방, 신뢰성 증가 및 측정 정밀도를 향상시키고 있다. 본 연구는 3 차원 물체인 B/STUD 를 실시간 및 허용 공차를 감안한 검사 시스템으로 측정하여 불량품 검사시 그 판정을 정확히 수행하고 불량품 발생시에 그에 관한 정보를 분석 감지하여 불량률을 최소화하기 위한 목적으로이다. 이를 위해서 물체 구동부로써 Index Table 을 제안하였고 B/STUD 의 검사 항목에 따른 허용 공차를 극복하기 위해 각 검사 부위에 CCD 카메라를 사용하고, 이미지 획득부인 비전보드는 640×480 resolution 으로 8bit gray level 의 처리가 되며, PCI 방식의 32bit 처리가 가능하다. 원과 직선 해석 알고리즘을 이용하여 B/STUD 를 검사하였고, 측정시 신뢰성을 높이기 위하여 Camera Calibration 을 고려하였다.

2. 시스템 구성

본 연구를 위한 시스템 구성은 Fig.1 에 나타나 있는 시스템 개념도에 있는 바와 같이 이미지 획득부, 조명부, B/STUD 구동부 등 크게 3 가지로 나눌 수 있다. 기계적인 실시간 처리를 위하여 한 개의 Index Table 안에 검사 Part 를 2 곳으로 나누었고, 정밀한

측정을 위해 각 검사 Part 에는 CCD 카메라 2 대씩을 사용하여 검사 항목의 허용공차를 만족시킨다. 삽입부 자체가 접촉식으로 Taper 각도를 검사하며, B/STUD 의 자세가 Index Table 과 직각을 이루도록 하기 위하여 Clamp 을 사용한다.

이미지 획득부는 여러 B/STUD 을 측정할 수 있도록 3 자유도 선형 변환이 가능하도록 시스템을 제안하였다. 난반사가 심한 금속성인 물체에 대해서 선명한 이미지를 얻기 위하여 Back lighting 기법을 이용하였다.

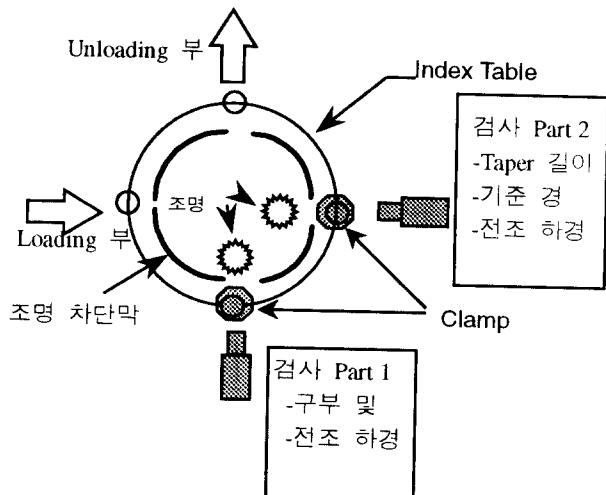


Fig. 1 시스템 개념도

3. 전처리 및 Calibration

3.1 Otsu Threshold

입력된 이미지의 Histogram을 살펴 보면 Bimodal 형태를 이룬다. 어두운 쪽의 mode는 배경(background)이고, 밝은 쪽의 mode는 물체(object)이다. 이 두 mode를 가장 잘 분리할 수 있는 값, 즉 threshold 값을 구하는 것이다. 이 값을 구하기 위해 확률적인 계산이 필요하게 된다. 식(1)으로부터 Threshold 값을 구할 수 있다.

$$\sigma^2(T) = \sum_{i=0}^T [i - u_1(T)]^2 \cdot P(i) + \sum_{i=T+1}^{255} [i - u_2(T)]^2 \cdot P(i) \quad (1)$$

$u_{1,2}$ 는 각 modal의 mean 값을 있고, $P(i)$ 는 확률을 나타낸다. $\sigma^2(T)$ 을 최소로 하는 T 를 구한다.

3.2 Camera calibration

CCD 카메라를 이용한 검사 장치에서는 고정밀도를 요구하기에 회득한 이미지와 실제 물체와의 크기 보정이 필요하다. 이 보정을 위한 알고리즘으로 T'sai가 제안한 Geometry Calibration을 사용한다.

다음과 같이 이미지 좌표를 정의한다.

(x_a, y_a, z_a) : Absolute coordinate

(x', y', z') : corrected camera coordinate

(x_c, y_c, z_c) : uncorrected camera coordinate

(i, j) : pixel coordinate

식(2)을 이용하여 회득한 pixel 값을 이미지 좌표로 전환한다.

$$x_c = \tau_x d_x (j - C_x) \quad y_c = -d_y (i - C_y) \quad (2)$$

d_x, d_y 는 x, y pixel 사이의 거리이며, τ_x 는 Scale

factor이며, H/W timing error이며, C_x, C_y 는 pixel 좌표에서의 중심의 위치이다. Fig. 2로부터 다음과 같은

식들을 구할 수 있다.

$$\begin{bmatrix} x_c \\ y_c \\ z_c \end{bmatrix} = \begin{bmatrix} r_{xx} & r_{xy} & r_{xz} \\ r_{yx} & r_{yy} & r_{yz} \\ r_{zx} & r_{zy} & r_{zz} \end{bmatrix} \begin{bmatrix} x_a \\ y_a \\ z_a \end{bmatrix} + \begin{bmatrix} p_x \\ p_y \\ p_z \end{bmatrix} \quad (3)$$

$$\frac{x}{f} = \frac{x_c}{z_c} \quad \frac{y'}{f} = \frac{y_c}{z_c} \quad (4)$$

식(3)과 식(4)로부터 식(5)를 구할 수 있고, distortion factor k_1 을 얻을 수 있다.

$$y_{cl}(1+k_1r^2) = f \frac{r_{yx}x_{a,i} + r_{yy}y_{a,i} + r_{yz}z_{a,i} + P_y}{r_{zx}x_{a,i} + r_{zy}y_{a,i} + r_{zz}z_{a,i} + P_z} \quad (5)$$

$i=1,2,3\dots$ 이다.

4. 알고리즘 및 검사 부위별 결과

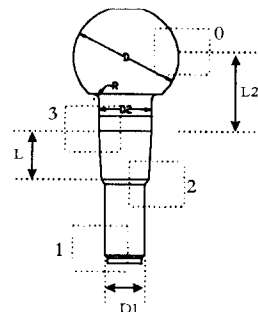


Fig. 3 검사 물체 및 검사 항목

4.1 구부의 측정

4.1.1 측정 알고리즘

원의 중심 및 반지름을 구하기 위하여 식(6)과 같은 원의 방정식과 Fig. 4 와 같은 기하학적 모델을 이용한다.

$$(x_i - x_0)^2 + (y_i - y_0)^2 = r^2 \quad (6)$$

원의 중심을 $P_0(x_0, y_0)$, 반경을 r , 경계상의 측정

값을 $P_i(x_i, y_i)$ 이고, i 는 측정 점의 개수를 나타낸다.

식(6)에서 실제 측정이 오차를 포함한다고 가정한다면 다음과 같은 error function으로 정의 할 수 있다.

$$E = \sum_{i=1}^n [(x_i - x_0)^2 + (y_i - y_0)^2 - r^2]^2 \quad (7)$$

$$z = x_0^2 + y_0^2 - r^2 \quad (8)$$

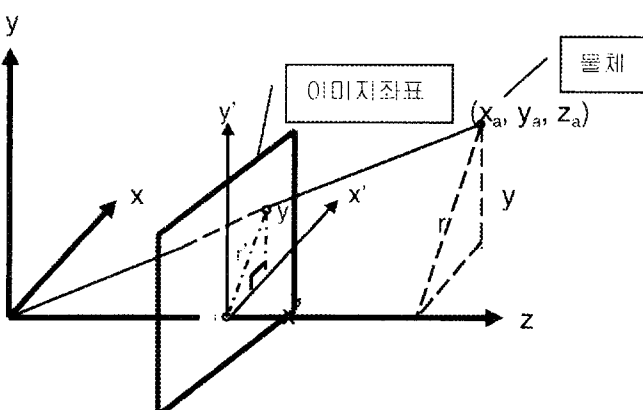


Fig. 2 Image Geometry

식(8)를 식(7)에 대입하면

$$E = \sum_{i=1}^n (x_i^2 - 2x_i x_0 + y_i^2 - 2y_i y_0 + z)^2 \quad (9)$$

으로 변환된다.

E 는 오차를 나타내며, x_0, y_0, z 를 변수로 정의한다. 오차의 최소값을 구하기 위해서 식(9)를 3개의 변수로 편미분을 하면 식(10)과 같이 된다. 식(10)으로부터 x_0, y_0 과 z 값 및 r 을 구할 수 있다.

$$\frac{\partial E}{\partial x_0} = 2\sum (x_i^2 - 2x_i x_0 + y_i^2 - 2y_i y_0 + z)(-2x_i) = 0$$

$$\frac{\partial E}{\partial y_0} = 2\sum (x_i^2 - 2x_i x_0 + y_i^2 - 2y_i y_0 + z)(-2y_i) = 0$$

$$\begin{aligned} \frac{\partial E}{\partial z} &= 2\sum (x_i^2 - 2x_i x_0 + y_i^2 - 2y_i y_0 + z) = 0 \\ r &= (x_0^2 + y_0^2 - z)^{1/2} \end{aligned} \quad (10)$$

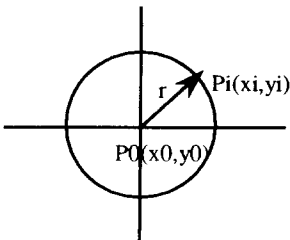


Fig. 4 The geometry of a circle

4.1.2 검사 결과

구의 중심은 (-1474,295) pixel, 반지름은 1687 pixel 이고, 검사 소요시간은 거의 0~30 ms이다.

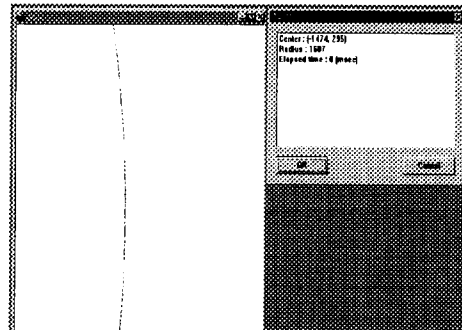


Fig. 5 구부의 측정 결과 이미지

4.2 직선 추출

4.2.1 알고리즘

Polygonal approximation은 보통 Boundary approximation을 수행하며, 곡선이나 선의 원형을 주출하거나 복원하는데 널리 쓰인다.

$$(x_i - d_i)^T (x_N - x_1) = 0 \quad (11)$$

x_1, x_N 은 직선을 이루는 점이라 정의한다.

x_i ($i = 2, \dots, N-1$)는 곡선 위의 점이고, d_i 는 직선 위의 점이다.

$$E_{\max} = \max_{2 \leq i \leq N-1} |x_i - d_i| \quad (12)$$

E_{\max} 는 maximal error라 정의한다.

E_{\max} 가 가장 큰 x_i 를 구하여 새로운 두 직선 $x_1 x_i$ 과 $x_N x_i$ 으로 Line segments를 수행한다. 임의의 임계 값을 정하여 E_{\max} 가 그 임계 값보다 클 때까지만 작업을 행한다.

4.2.2 구 중심에서 기준경까지 길이 검사 결과

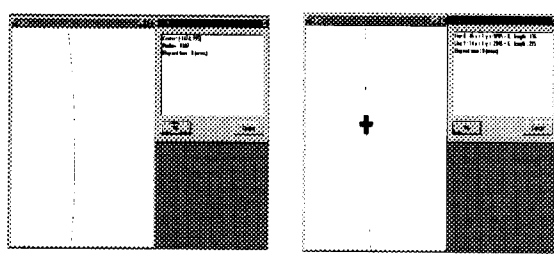


Fig. 6 구 중심에서 기준경까지 결과이미지

4.2.3 Taper 길이 검사 결과

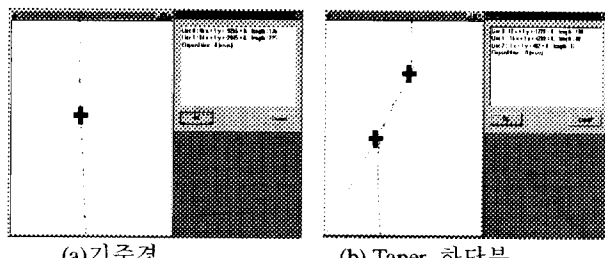
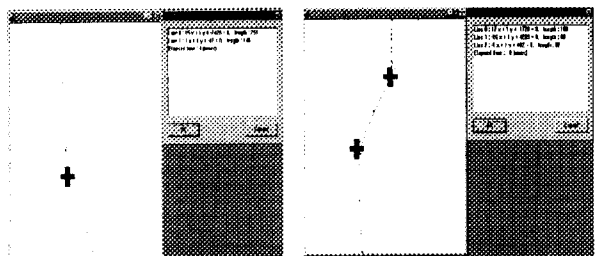


Fig. 7 Taper 부위에 대한 측정 결과 이미지

4.2.4 전조하경 길이 검사 결과



(a)전조하경의 끝점

(b) Taper 와 전조 하경

의 이미지

Fig. 8 전조 하경 부위의 측정 결과 이미지

5. B/STUD 이미지 결과 분석

여러 측정 부위를 한 대의 검사 시스템으로 측정하여야 함으로써 통합적인 알고리즘 환경에서도 그 타당성 여부를 측정하여야 한다. 그러한 검사 결과가 Fig. 9에서 볼 수 있다. 각각에 대한 결과 값들은 pixel 값들로 표현한다. 4개의 이미지의 특징들을 검사하는데 소요된 시간은 약 110ms이다. Fig. 9에서 구한 각 이미지의 특징 점들을 기준 Sample 데이터와 비교하여 허용 공차 범위에 만족하는가를 조사하여 물체의 양•불량을 판단할 수 있다.

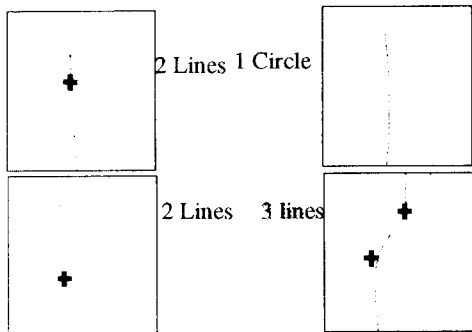


Fig. 9 전 검사 부위에 대한 이미지 처리 결과

이미지 획득시 소요되는 시간은 800ms이며, 이미지 검사 및 Index Table 구동 시간은 700ms으로써 총 검사 시간은 1500ms 이 소요된다. 시험결과에 의하여 검사 시간을 만족할 수 있다.

6. 결론

본 연구에서는 3 차원 물체인 B/STUD에 대한 검사 시스템 설계를 제안하였다. 측정 물체가 기계 부품인 점을 고려하여 고정밀도 즉, 검사 허용 공차가 0.05 mm ~ 0.2mm 을 측정 가능하게 하였고, 또한 고속 처리 즉, 처리 시간 1.5sec 이내에 검사를 가능하게 하였다. 또한 원 해석과 직선 추출 알고리즘을

구현하였고, 사용자가 이용하기 쉽도록 윈도우 환경에서 처리하도록 하였다. B/STUD 측정할 때 특정 점을 이용하는 방법을 제안하여 길이 및 거리를 판정 할 수 있도록 하였다.

참고 문헌

- [1] A.D.Marshall and R.R.Martin, Computer vision ,models and inspection , World Scientific , pp18~25, pp32~36, pp350~355.
- [2] Ramesh Jain and Rangachar Kasturi and Brian G. Schunck, Machine Vision , McGraw Hill pp189~191, pp309~ 362, pp196 ~ 198.
- [3] Rafael C. Gonzalez, Richard E. Woods, Digital Image Processing , Addison Wesley, pp51~70. Pp484~ 486, pp486~ 488, pp443~457
- [4] N.Otsu, "A Threshold Selection Method from Gray Level Histograms," IEEE Trans.SMC, vol. SMC-9, pp.62~66, 1979.
- [5] 이 상룡, 김 채상, 시각센서를 이용한 축대칭 물체 측정 시스템 개발, 한국정밀공학회지 제 14 권 제 5 호 pp34~41.
- [6] 이 일환, 박 희재, 비전을 이용한 기어 형상 측정 시스템 개발, 한국정밀공학회 96년도 추계학술대회 논문집 pp485~489.
- [7] 박 재성, 박 희재, 김 구영, 3 차원 측정기용 비전프로브 운용시스템 개발, 한국정밀공학회 추계 학술대회 논문집 pp501~505.